

(HUANJING KEXUE)

ENVIRONMENTAL SCIENCE

第35卷 第11期

Vol.35 No.11

2014

中国科学院生态环境研究中心 主办

斜学出版社出版



ENVIRONMENTAL SCIENCE

第35卷 第11期 2014年11月15日

目 次

南京北郊夏季近地层臭氧及其前体物体积分数变化特征 …
PM ₁₀ 可替代源成分谱的建立方法及其应用
深圳灣流域 IN 和 IP 人海年迪重受化规律研究
西藏普莫雍错湖芯沉积物中重金属的垂向分布特征及生态风险评估····································
城市不同下垫面降雨径流多环芳烃(PAHs)分布及源解析 ············ 武子澜,杨毅,刘敏,陆敏,于英鹏,汪青,郑鑫(4148) 粗放型绿色屋面填料的介质组成对出水水质的影响 ····································
压力强化混凝除藻工艺中藻毒素安全性研究 — 蒋新跃,栾清,丛海兵,徐思涛,刘玉娇,朱学源(4171)基于膜特征参数变化的蛋白质超滤过程膜污染研究 — 王旭东,张银辉,王磊,张慧慧,夏四清(4176) 臭氧氧化水溶液中对乙酰氨基酚的机制研究 — 曹飞,袁守军,张梦涛,王伟,胡真虎(4185) 电辅助微生物反应器降解苯并噻唑效能的研究 — 刘春苗,丁杰,刘先树,程旺斌(4192)
电辅助微生物反应器降解苯并噻唑效能的研究 ····································
光质对蛋白核小球藻(Chlorella pyrenoidosa)生长特征及生化组成的影响研究
盐度对好氧颗粒污泥硝化过程中 N ₂ O 产生量的影响 ····································
利用铅同位素方法量化不同端元源对南京土壤和长江下游悬浮物铅富集的影响
环境因素对土壤中几种典型四环素抗性基因形成的影响 张俊,罗方园,熊浩徽,焦少俊,叶波平(4267)稻田土壤不同水分条件下硝化/反硝化作用及其功能微生物的变化特征 … 刘若萱,贺纪正,张丽梅(4275)典型岩溶土壤微生物丰度与多样性及其对碳循环的指示意义
要温环境对典型石灰土有机碳矿化的影响 新振江, 汤华峰, 李敏, 黄炳富, 李强, 张家喻, 黎桂文(4284) 要温环境对典型石灰土有机碳矿化的影响 王莲阁,高岩红,丁长欢,慈思,谢德体(4291) 铁氧化物与电子供体基质交互作用对红壤性水稻土中 DDT 还原脱氯影响 刘翠英,徐向华,王壮,姚童言(4298)
植物套种及化学强化对重金属污染土壤的持续修复效果研究 卫泽斌,郭晓方,吴启堂,龙新宪(4305)不同取样尺度下亚高山草甸土壤呼吸的空间变异特征 李洪建,高玉凤,严俊霞,李君剑(4313)不同开垦年限黑土温室气体排放规律研究 李平,郎漫,徐向华,李煜姗,朱淑娴(4321)
转 Cryl Ac 基因抗虫棉与其亲本棉花根际真菌多样性的比较
1-硝基芘和 1,2-萘醌的联合细胞毒性和致 DNA 损伤 ···································
上层曝气式生物反应器填埋工艺特性的研究
泛长三角地区工业污染重心演变路径及其驱动机制研究
《环境科学》征稿简则(4094) 《环境科学》征订启事(4126) 信息(4243, 4266, 4274, 4328)

深圳湾流域 TN 和 TP 入海年通量变化规律研究

赵晨辰,张世彦,毛献忠*

(清华大学深圳研究生院环境工程与管理研究中心,深圳 518055)

摘要:采用经验排污系数法、输出系数模型以及平均浓度法,分别研究 1986~2011 年间深圳湾流域内深圳和香港两个区域的总氮(TN)和总磷(TP)人海污染负荷年通量的变化规律. 结果表明,整个深圳湾流域在80年代、90年代和2000年之后的3个时期内TN人海负荷量平均值分别为10388.2、10727.9和10937.3 t,TP为2694.5、1929.2和1388.7 t. 其中深圳一侧随着社会经济和城市化的快速发展,TN和TP年负荷通量大幅增长,26年来点源污染分别增加了4373.6 t和195.9 t,相应增长了261.0%和64.2%,非点源污染增加了1067.2 t和151.0 t,相应增长了63.4%和84.9%,建设和交通用地的扩张是非点源污染负荷增长的主要因素;深圳一侧对深圳湾流域入海污染负荷的贡献率分别从42.4%和27.0%增加到85.1%和75.2%;而香港一侧TN和TP年负荷通量分别减少了3028.5 t和1031.5 t,相应削减了66.3%和79.0%.

关键词:深圳湾; TN 和 TP; 年负荷通量; 点源污染; 非点源污染

中图分类号: X52 文献标识码: A 文章编号: 0250-3301(2014)11-4111-07 DOI: 10.13227/j. hjkx. 2014. 11.010

Variations of Annual Load of TN and TP in the Deep Bay Watershed, Shenzhen

ZHAO Chen-chen, ZHANG Shi-yan, MAO Xian-zhong

(Research Center for Environmental Engineering and Management, Graduate School at Shenzhen, Tsinghua University, Shenzhen 518055, China)

Abstract: The empirical coefficient of sewage disposal, export coefficient model and mean concentration method were respectively used to estimate variations of annual load TN and TP from Shenzhen and Hong Kong areas in the Deep Bay Watershed from 1986 to 2011. The results showed that, the annual average loads of TN and TP were 10 388.2 t, 10 727.9 t, 10 937.3 t, and 2 694.5 t, 1 929.2 t, 1 388.7 t, respectively in the whole watershed during three periods, 80s, 90s and years after 2000. With the rapid development of society, economy and the urbanization, annual pollution loading of TN and TP in Shenzhen area showed an obviously increase, 4 373.6 t and 195.9 t, by 261.0% and 64.2% for point source, and 1 067.2 t and 151.0 t, by 63.4% and 84.9% for non-point source, respectively. Non-point source with high pollution load was mainly caused by the expanding of land for construction and roads. The contribution ratios of TN and TP from Shenzhen area increased from 42.4% and 27.0% to 85.1% and 75.2%. Annual loads of TN and TP in Hong Kong area decreased 3 028.5 t and 1 031.5 t, by 66.3% and 79.0% reduced.

Key words: Deep Bay; total nitrogen and phosphorus; annual load; point source pollution; non-point source pollution

随着我国社会经济和城市化的发展,沿海城市 的陆源污染剧增,并通过地表径流、河流排放入海 导致近岸海域水质污染严重,科学掌握海湾内的陆 源污染负荷以及水环境污染变化规律,可为海洋环 境容量研究和水污染负荷总量的控制与削减提供科 学依据. 国内外海湾地区陆源污染负荷的研究包括 点源和非点源污染两部分[1~4],点源污染主要来自 城市生活污水和工业废水,普遍采用综合用水法和 经验浓度系数法[5];非点源污染主要来自雨水径 流,具有随机性、广泛性、模糊性和滞后性等特 点[6],影响因素众多,土地利用变化是最主要的因 素[7-9]. 20 世纪 60 年代以来,国内外学者提出了多 种非点源污染核算方法和模型,常用的有 SWMM (storm water management model), SWAT (soil and water assessment tool)以及 HSPF (hydrological simulation program-Fortran)等[10],但模型要求有长 系列资料作为输入条件;在相关资料相对缺乏时,常用的方法有平均浓度法^[11]、水质水量相关法^[12]、输出系数模型^[13]和 L-THIA (long-term hydrological impact assessment)^[14]等.

深圳湾是跨境水域,其流域分布在深圳和香港境内,深圳湾受深港两地污染物的共同影响,水体富营养化严重^[15].深圳湾流域深圳一侧随着人口增加和城市快速发展,入湾污染负荷急剧增加;香港一侧随着工农业和畜牧业的转移,污染物变化特性截然不同.深圳湾的陆源污染负荷多是关于单一年份或深圳一侧的研究^[16,17],全面系统的长时间序列的研究较少.本研究采用经验排污系数法、输出系

收稿日期: 2014-04-04; 修订日期: 2014-06-03

基金项目: 深圳 市 近 海 动 力 环 境 演 变 重 点 实 验 室 项 目 (ZDSY20130402163735964)

作者简介: 赵晨辰(1988~),女,硕士,主要研究方向水环境模拟计算,E-mail:zecruby@163. com

* 通讯联系人, E-mail: maoxz@ sz. tsinghua. edu. cn

数模型以及平均浓度法,探讨了1986~2011年间深 圳湾流域 TN和 TP人海年通量,分析了流域内入海 污染负荷年通量的变化规律和分布,以期为深圳湾 水环境治理提供科学依据.

1 研究区域概况

深圳湾是一个半封闭型海湾,位于珠江口伶仃洋以东,北接深圳市福田和南山区,南连香港新界西北地区,连接伶仃洋的龙鼓水道(图1).深圳湾湾长约14 km,面积约90 km²,内湾水浅,自东向西逐渐变深,湾口最深处约16 m,平均水深约2.9 m.

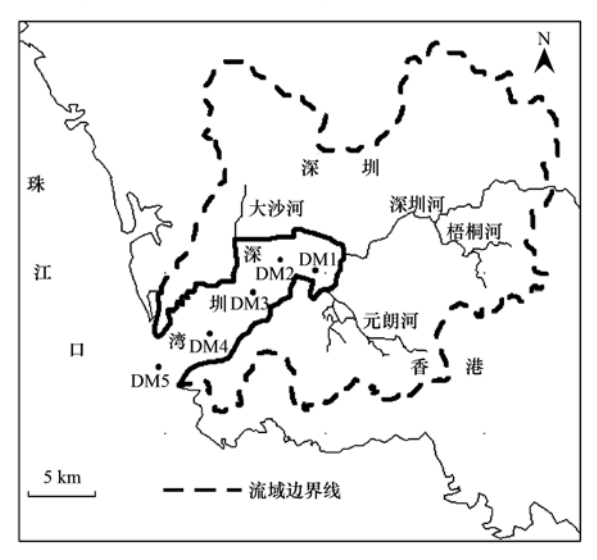


图 1 研究区域位置示意

Fig. 1 Location of the study area

深圳湾流域面积 617.8 km², 年平均气温 22.4℃, 年平均降水量约1 935.8 mm, 降雨多集中在 4~10 月,约占全年总降水量的 90%. 其中,位于深 圳一侧的流域面积 351.3 km²,包括罗湖区、福田区、南山区和龙岗区布吉街道. 根据国土资源部 2007 年 8 月 10 日颁布的《土地利用现状分类》,结合土地利用的特点,深圳一侧土地利用类型分为耕地、园地、林地、草地、水域、建设用地、交通和开发用地等 8 大类. 2011 年深圳一侧土地利用类型以建设用地和林地为主,分别占 40.4% 和 20.6% [18].

深圳湾流域位于香港一侧的面积 266.5 km², 主要包括北区、元朗地区和流浮山一带,大部分属乡村地区,禽畜农场多,公共污水处理设施不完备.香港一侧主要污染源包括禽畜饲养场的排放物及农业面源污染、无污水管道的乡村地区直接或经由化粪池或渗水池渗漏的生活污水、城镇区域内错接到雨水渠的废水及其他残余污染物等[19],都通过河流

最终流入深圳湾.

2 研究方法与数据资料

香港和深圳两地生活用水方式以及工农业排污情况不同,有关污染源基础资料的统计方法也不一样.因此,在计算 TN 和 TP 污染负荷时,根据两地现有的资料分别采用经验排污系数法、输出系数模型和平均浓度法计算深圳一侧城镇生活污水入海污染负荷(代表点源)、地表径流引起的污染负荷(代表非点源)以及香港一侧各条入湾河流输出的污染物负荷(包括点源和非点源).

2.1 深圳一侧污染物入海通量

2.1.1 点源污染通量

深圳市 TN 和 TP 点源污染负荷主要来自生活污水. 经验排污系数法根据城镇居民人口数和污水处理厂进出水水质等资料,合理确定城镇人均综合生活排放系数、综合生活污水平均浓度等特征值,计算城镇生活污染负荷的产生总量和削减量,进而确定城镇生活污水中 TN 和 TP 的人海年通量,计算公式如下:

 $L_j = c_{1j} \times G_1 + c_{2j} \times (G_e - G_1)$ (1) 式中, L_j 为生活污水 j 营养盐入海年通量(t), c_{1j} 为 污水厂 j 营养盐尾水浓度($mg \cdot L^{-1}$), c_{2j} 为未经处理 的生活污水 j 营养盐浓度($mg \cdot L^{-1}$),j 分别为 TN 和 TP 两种营养盐(下同). 其中,

$$G_c = 365 \times N \times F_c \tag{2}$$

$$G_{\rm t} = w \times G_{\rm c} \tag{3}$$

式中, G_c 为城镇居民生活污水年排放量(L),N 为城镇居民常住人口数量, F_c 为城镇人均生活污水排放系数[L·(d·人)⁻¹], G_c 为生活污水经过污水厂的年处理量(L),w 为污水处理率(%).

根据深圳市污水处理厂多年的进水水质监测资料,采用经验浓度系数, TN 取 33.6 mg·L⁻¹. 2000年之前允许使用含磷洗涤剂, TP 取 8.0 mg·L⁻¹; 2000年后禁止使用含磷洗涤剂, 取 5.76 mg·L⁻¹[^{20,21}]. 污水处理厂的尾水浓度采用一级 B标准(TN 取 20 mg·L⁻¹, TP 取 1.5 mg·L⁻¹)[²²]. 根据《第一次全国污染源普查城镇生活源产排物系数手册》,深圳市城镇人均生活污水排放系数取 185 L·(d·人)⁻¹,人口和污水处理率等资料采用文献[23].

2.1.2 非点源污染通量

输出系数模型计算非点源污染通量是利用相对容易得到的土地利用状况等资料,直接建立土地利

用与受纳水体非点源污染负荷之间的关系. 随着该模型的广泛应用,许多学者^[24,25]对其进行了改进与发展,适当考虑污染物在流域传输过程中损失、年际降雨变化对污染物输出影响、以及与系数分类相关的污染物来源等. 输出系数模型如下:

$$L_{j} = \sum_{i=1}^{n} E_{i,j} \times A_{i} \times Q_{i}$$
 (4)

式中, L_j 表示 j 种营养盐人海年通量(t), $E_{i,j}$ 表示 i 种土地利用类型的 j 营养盐的输出系数($mg \cdot L^{-1}$),

 A_i 为第 i 类土地利用类型面积(km^2), Q_i 为 i 种土地类型上产生的年径流量(mm).

深圳湾流域深圳一侧几乎没有农业生产和畜禽养殖,非点源污染负荷通量主要通过地表径流进人深圳湾,模型输入数据资料采用深圳国土资源局"深圳土地利用变更统计"和深圳市气象局"深圳市气候公报".输出系数模型计算中参考深圳湾流域非点源污染负荷相关研究^[26~28],确定合理的各种土地利用类型的输出系数,见表 1.

表 1 研究区各种土地利用类型输出系数/mg·L-1

Table 1	Export	coefficients	of a	ll type	s of	land	use	in ·	the study	area/	mo · I	- 1	

类型	耕地	园地	林地	草地	水域	建设用地	交通	开发用地
TN	33. 5	17. 57	3. 12	3. 08	3. 12	14. 80	31. 5	3. 01
TP	1.87	0. 68	0. 14	0. 12	0. 29	1.55	1. 90	0.07

2.2 香港一侧污染物入海通量

深圳湾流域香港一侧营养盐通过河道排放人海,河流输出的污染负荷总量即为香港一侧的人湾污染负荷年通量. 平均浓度法采用流量加权平均浓度乘以年径流量确定人湾污染负荷,计算公式为:

$$L_{j} = kQ_{n} \sum_{i=1}^{n} c_{ij} Q_{i} / \sum_{i=1}^{n} Q_{i}$$
 (5)

式中, L_j 表示 j 污染物年入海通量(t),k 为单位转换系数, c_{ij} 为 j 污染物采样瞬时浓度(mg·L⁻¹), Q_i 为采样瞬时流量(m³·s⁻¹), Q_n 为不同年份的年径流量(m³),可通过该流域的径流系数推算.

$$Q_n = C \times P \times A \times 10^3 \tag{6}$$

式中, C 为该地区多年平均径流系数(取值0.66^[26]); P 为该地区年降雨量(mm); A 为各条河流的集水面积(km²).香港一侧共13条入湾河流:包括北区双鱼河、平原河和梧桐河、元朗地区锦田河、元朗河、天水围明渠和锦绣花园明渠以及流浮山一带下白泥溪、鳌磡沙溪、白泥溪、上白泥溪、大水坑溪和曾角溪.研究数据资料分别来自香港环保署各条河流月水质监测数据、流量数据,香港天文台的降雨量数据等.

3 分析与讨论

3.1 深圳一侧污染物入海通量

深圳湾流域深圳一侧 1986~2011 年间 TN 和TP 的入海年通量、以及点源和非点源部分变化趋势见图 2.

深圳市的人口由 1986 年的 93.6 万人增加到 2011 年的1 046.7万人,深圳湾流域深圳一侧的生活

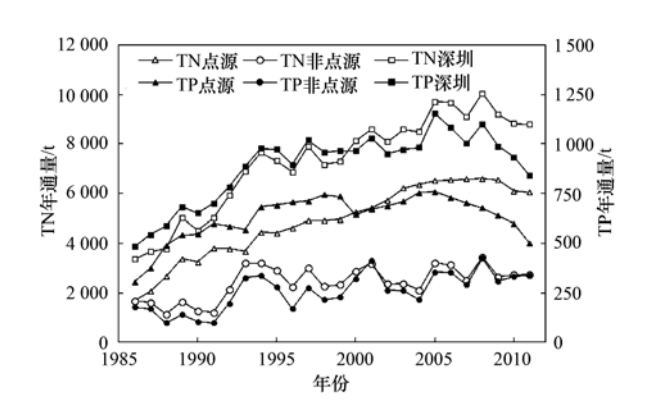


图 2 深圳侧污染物年通量变化

Fig. 2 Changes of pollution loads in Shenzhen area

污水排放量相应增加了 2.5 亿 t. 随着不同时期污 水处理设施陆续投入运行,污水处理率逐年提高,由 1986年的不足 10.0% 提高到 2011年的 94.0%, 经 过污水截排和污水处理设施处理后,TN和TP点源 年负荷呈现不同的趋势,2011年比1986年增加了 261.0%和64.2%. TN的点源负荷通量在2005年 以前增长迅速,从1675.7 t增加到6548.4 t;之后 基本维持在6500 t左右, 2009 年以后下降到 6 049. 3 t,下降了 7.6%. TP 点源负荷 1986~1999 年间大幅上升,由 305.3 t 增加到 765.1 t; 1999 年 末深圳市政府禁止使用含磷洗涤剂,因此2000年后 TP点源污染负荷明显下降,下降了17.3%;在2000 ~2005 年间, TP 点源负荷又上升了 18.3%, 其原因 是由于人口由 271 万增长到 347.6 万人,而污水处 理率一直处在60%左右;2005年后污水处理率提 高到94.0%,负荷下降了32.9%.

深圳一侧 TN 和 TP 非点源 26 年来入海年通

量呈现波动上升的趋势,由1683.3 t和177.9 t增加到2750.5 t和328.9 t,分别增加了63.4%和84.9%.分析其原因负荷波动与降水量有关,不同降雨量时地表径流产生非点源污染差别较大,其中1993、1994、2001和2008年是丰水年,降雨量在2500 mm以上,非点源TN和TP年负荷均超过3000t和300t.非点源负荷上升趋势与深圳城市化快速发展不断改变不同土地利用

类型的面积有关,不同土地利用类型污染输出负荷量差异很大.以1986年和2011年为例,建设用地和交通用地面积比重分别增加了26.3%和11.4%(见表2),建设用地TN和TP负荷通量分别增长了203.1%和101.4%,交通用地TN和TP负荷量增幅分别在14倍和6倍以上.因此,建设和交通用地的增大是流域非点源污染负荷增长的主要因素.

表 2 1986 年和 2011 年非点源污染年通量变化

Table 2 Changes of non-point source pollution load in 1986 and 2011

年份	项目	土地利用类型								
		耕地	园地	林地	草地	水域	建设用地	交通	开发用地	总计
	面积比/%	1.01	20. 94	43. 36	0.75	4. 71	14. 09	1. 57	13. 44	100
1986	TN/t	97. 53	706.09	280. 46	5. 98	108. 33	319. 26	71.57	94. 07	1 683. 29
	TP/t	6.02	40. 98	12. 58	0. 27	10.07	87. 59	18. 15	2. 19	177. 85
2011 变化率/%	面积比/%	0. 38	13. 33	20. 56	0.40	8. 27	40. 43	12. 93	3. 70	100
	TN/t	15. 43	446. 99	124. 13	1.07	117. 13	967. 69	1 050.65	27. 39	2 750. 48
	TP/t	1.49	16.86	3.53	0.09	14. 39	176. 37	115.76	0. 37	328. 86
	TN	-84.18	- 36. 70	- 55. 74	-82.11	8. 12	203. 10	1 368.00	-70.88	63. 40
	TP	-75.25	- 58. 86	-71.94	- 66. 67	42. 90	101.36	537.80	-83.11	84. 91

综合点源和非点源污染负荷,深圳湾流域深圳一侧 TN 入海年负荷总量 2008 年之前大幅增长,由 3 359.0 t 增长到10 047.6 t,之后下降到 2011 年的 8 799.8 t,下降了 12.4%. TP 入海年负荷通量在 2005 年之前呈明显波动上升趋势,由 483.2 t 增加到1 153.3 t,之后下降到840.0 t,下降了27.2%.上述研究结果和相关文献研究基本一致,如 2003年[29]和 2007年[16]的入海负荷通量.

深圳一侧90年代开始人口和经济快速增长,90年代中期以前TN和TP人海年通量增长率比较高.90年代中期到2005年,营养盐入海负荷通量增长有所减缓,这是因为90年代中期以来,深圳市政府为改善深圳河湾水质,加大了污水处理和河流治理力度,包括污水厂的建立、污水截排工程和污水资源化工程等^[30].2006年以来,深圳一侧的营养盐排放入海量逐步得到控制,并出现下降趋势,取得了阶段性的改善.

深圳一侧 1986~2011 年间 TN 和 TP 点源和非点源污染负荷的贡献率,见图 3. TN 和 TP 点源污染负荷的贡献率分别为 49.9%~75.7% 和 60.4%~87.6%,表明 26 年来城镇生活污水是深圳一侧营养盐入海的主要来源. 当深圳一侧人口较少时,由于污水处理厂处理能力不足导致生活污水是主要污染;随着污水处理厂的逐步建立,人口基数较大,使得点源污染仍是主要污染源.

3.2 香港一侧污染物入海诵量

深圳湾流域香港一侧及其各分区 1986~2011

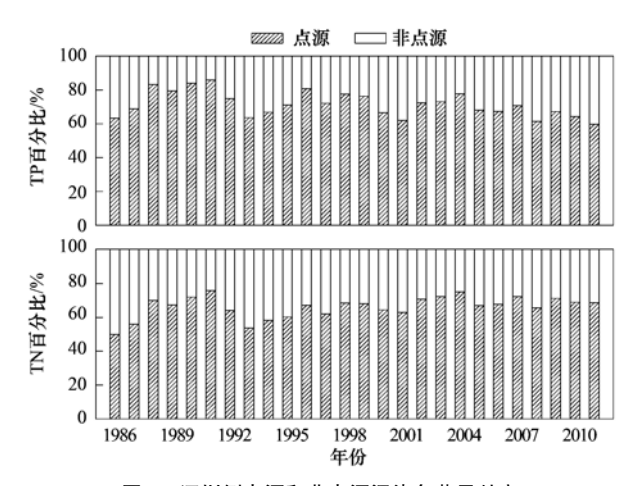
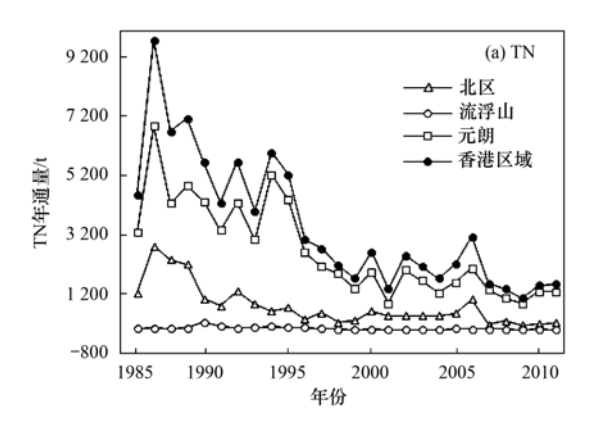


图 3 深圳侧点源和非点源污染负荷贡献率

Fig. 3 Contribution ratios of point source and non-point source pollution load in Shenzhen area

年间 TN 和 TP 的入海年通量,见图 4.

由图 4 可知,26 年来,香港侧 TN 和 TP 人海总负荷通量大幅减少,分别下降3 028.5 t和1 031.5 t,相应削减了 66.3% 和 79.0%. 这是因为香港政府采取了一系列的减排措施,1988 年 6 月实施了"禽畜废物管制计划",并于 1994 年进行检讨修订以促进污染管制,禽畜农场数目有所下降; 1990 年 12 月,香港环保署在研究区域内推行"减污计划",要求工商业处所及无污水管道的乡村处理各自产生的废水; 1992 年粤港共同拟定"深圳湾行动计划", 1999 年制定了实施计划,旨在减少现有的污染量,管制新污染源. 以上这些措施使香港一侧营养盐人湾负荷通量大幅削减,初期效果尤其明显. 香港一



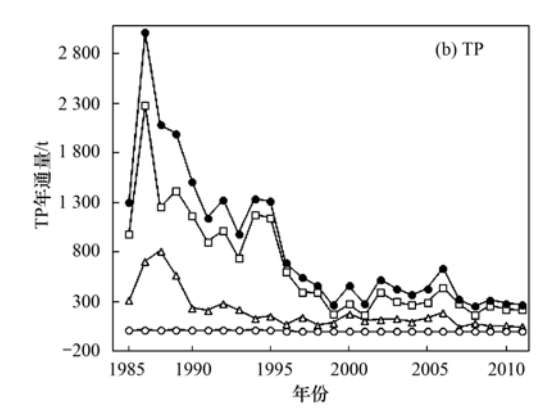


图 4 香港侧及其各分区年污染物年通量变化

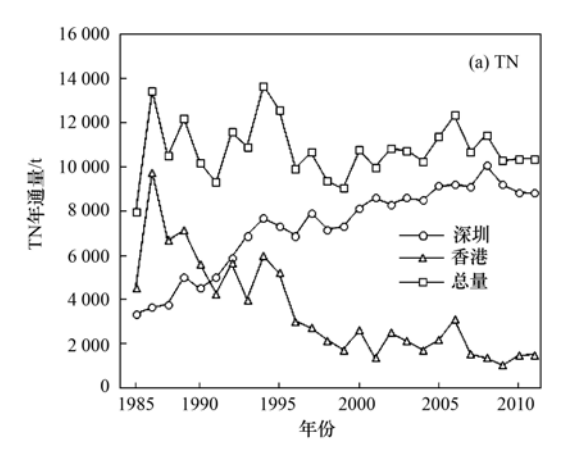
Fig. 4 Changes of pollution load in Hong Kong and its sub areas

侧人海年通量研究结果和相关文献研究香港地区河流输出污染物负荷量基本一致,如 1998 年[31] 和 2005 年[17].

香港一侧人海年通量主要来自元朗,TN 和 TP 贡献率分别为 63.8% ~88.2% 和 59.8% ~88.1%,这是因为元朗地区人口稠密,工商业发达,也是历史上禽畜养殖的主要区域. 相邻年份点源污染差异不大,负荷波动的主要原因和降雨有关,如 1987 年 TN 和 TP 负荷量远远高于 1986 年和 1988 年,是因为1986 和 1988 年都是枯水年,而 1987 年是丰水年,降雨量高达2 047.5 mm,导致地表径流引起的非点源污染较大.

3.3 深圳湾流域污染物入海总通量

1986~2011 年间深圳湾流域 TN 和 TP 的年负荷通量变化曲线见图 5. 为了分析不同时期流域内



入湾污染负荷通量变化规律,选取80年代、90年代及2000年之后3个代表时期.26年来流域多年平均降雨量为1700mm左右,3个时期的年平均降雨量分别为1680.5、1794.6和1741.7mm,基本表示平均平水年的状况.3个时期流域内TN年入海负荷量平均值分别为10388.2、10727.9和10937.3t,变化不大;TP年负荷量平均值分别为2694.5、1929.2和1388.7t,呈明显的下降趋势,减少了48.5%.深圳湾流域深圳侧和香港侧年污染负荷贡献率见图6.26年来深圳一侧TN和TP入海年负荷的贡献率越来越大,分别从42.4%和27.0%增加到85.1%和75.2%.深圳一侧经过治理,营养盐排放入海量已有所减少,但效果不如香港一侧明显.因此,在今后深圳湾水污染的治理上,仍需加大力度控制深圳一侧的营养盐排放量.

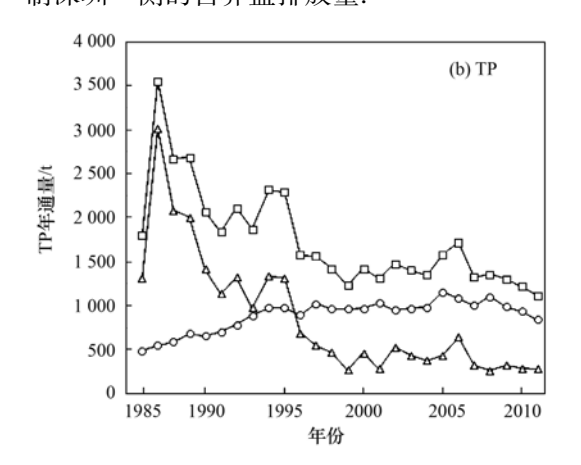


图 5 深圳湾流域及各区域污染物年通量变化

Fig. 5 Changes of Shenzhen, Hong Kong areas and total pollution loads

3.4 深圳湾营养盐水质变化规律分析

为保护深圳湾水环境,1986年起香港环境署实施海水水质监测计划,在深圳湾设立5个监测站位

DM1~DM5,分布在湾顶到湾口之间(见图1). 根据监测资料,1986~2011年间湾内营养盐年际变化见图7.

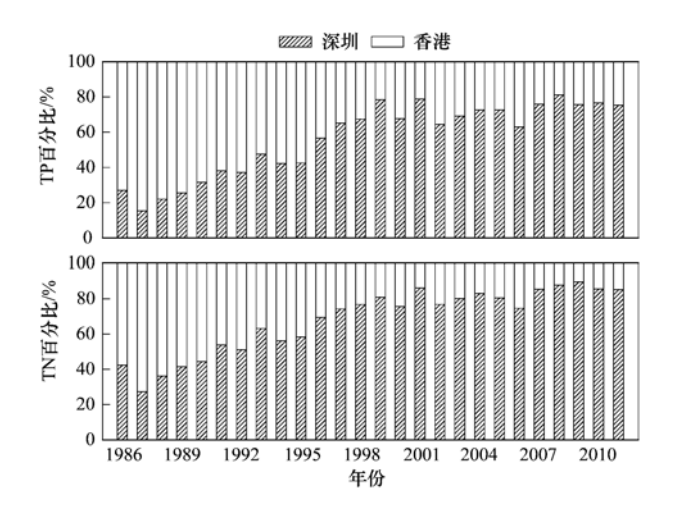


图 6 深圳湾流域深圳侧和香港侧的年污染负荷贡献率

Fig. 6 Contribution ratios of pollution load from Shenzhen and Hong Kong areas

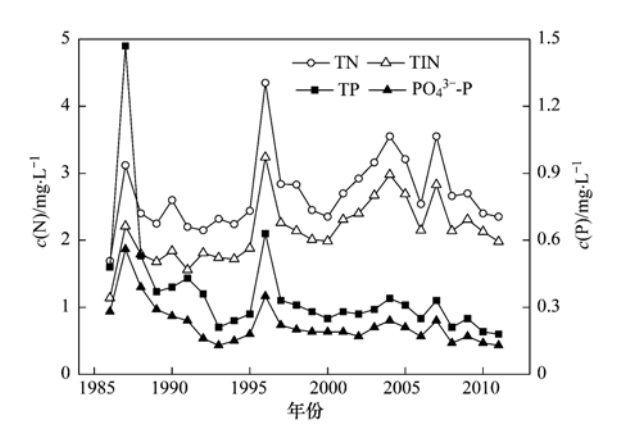


图 7 深圳湾营养盐年际变化(1986~2011年)

Fig. 7 Annual variation of nutrient in the Deep Bay (1986-2011)

26 年来海水中 TN 和总无机氮(TIN)变化幅度较大,波动性上升,变化范围为 1.7~4.4 mg·L⁻¹和 1.1~3.2 mg·L⁻¹,其中 TIN 多年平均浓度为 2.1 mg·L⁻¹,远远超过四类海水水质标准,多年平均 TIN 是 TN 的 79.5%,TIN 对 TN 的贡献率大.在 80、90年代和 2000年之后的 3 个时期内,TN 平均值分别为 2.4、2.6 和 2.9 mg·L⁻¹,呈明显的上升趋势.由于深圳湾流域 TN 陆源年入海负荷的变化不明显,导致湾内 TN、TIN 上升的主要原因有:一是深圳湾内源污染增加;二是历年来深圳湾深圳侧大量的围海造地使深圳湾的水动力减弱,污染物在深圳湾停留时间变长容易累积引起的.

TP 和正磷酸盐(PO_4^{3-} -P)年际变化趋势十分接近, PO_4^{3-} -P 多年平均 0.2 $mg \cdot L^{-1}$,超四类海水水质标准 4 倍以上,占 TP 多年平均的 75.2%. TP 在 80、90 年代和 2000 年之后的 3 个时期的平均值分别为

0.65、0.33 和 0.26 mg·L⁻¹, 呈明显的下降趋势, 这与 TP 入海负荷量的变化规律基本相符.

35 卷

4 结论

- (1)随着深圳社会经济和城市化的发展,1986~2011年间深圳湾流域深圳一侧 TN 和 TP 入湾负荷大幅增加,其中 TN 和 TP 的点源污染负荷分别从1675.7 t和305.3 t增加到6049.3 t和501.2 t,增加了261.0%和64.2%;非点源污染负荷从1683.3 t和177.9 t增加到2750.5 t和328.9 t,增加了63.4%和84.9%.深圳一侧 TN 和 TP 入海污染负荷的贡献率越来越大,分别从42.4%和27.0%增加到85.1%和75.2%.因此,今后深圳湾水环境的治理应重点控制深圳一侧营养盐入海负荷.
- (2)深圳湾流域香港一侧经过多年的治理,TN和TP人海总负荷通量26年来大幅减少,分别下降3028.5t和1031.5t,相应削减了66.3%和79.0%.其中,香港一侧人海年通量主要来自元朗,TN和TP贡献率分别为63.8%~88.2%和59.8%~88.1%.
- (3)在80、90年代以及2000年之后的3个时期,深圳湾流域TN年入海负荷通量平均值分别为10388.2、10727.9和10937.3t,TP为2694.5、1929.2和1388.7t,TN变化不大,TP削减明显;相应时期内深圳湾TN平均值分别为2.4、2.6和2.9mg·L⁻¹,TP为0.65、0.33和0.26 mg·L⁻¹,湾内水质变化与入海负荷通量的变化规律基本一致.

致谢:感谢香港环保署、天文台以及深圳市国 土资源局和深圳市气象局为本研究提供的数据. 参考文献:

- [1] Enell M, Fejes J. The nitrogen load to the Baltic Sea—present situation, acceptable future load and suggested source reduction
 [J]. Water, Air and Soil Pollution, 1995, 85(2): 877-882.
- [2] Kaushal S S, Groffman P M, Band L E, et al. Tracking nonpoint source nitrogen pollution in human-impacted watersheds [J]. Environmental Science and Technology, 2011, 45 (19): 8225-8232.
- [3] 王红莉,姜国强,陶建华.海岸带污染负荷预测模型及其在 渤海湾的应用[J].环境科学学报,2005,25(3):307-312.
- [4] 涂振顺, 黄金良, 张珞平, 等. 沿海港湾区域陆源污染物定量估算方法研究[J]. 海洋环境科学, 2009, **28**(2): 202-207
- [5] 潘灿民,张珞平,黄金良,等.厦门西海域、同安湾人海污染负荷估算研究[J].海洋环境科学,2011,30(1):90-95.
- [6] Weng Q. Modeling urban growth effects on surface runoff with the integration of remote sensing and GIS [J]. Environmental Management, 2001, 28(6): 737-748.
- [7] Wilson C, Weng Q. Assessing surface water quality and its

- relation with urban land cover changes in the Lake Calumet Area, Greater Chicago [J]. Environmental Management, 2010, 45 (5): 1096-1111.
- [8] 杨柳, 马克明, 郭青海, 等. 城市化对水体非点源污染的影响[J]. 环境科学, 2004, **25**(6): 32-39.
- [9] 廖义善, 卓慕宁, 李定强, 等. 珠江三角洲城市非点源 COD 影响因素分析及其负荷估算[J]. 环境科学, 2013, **34**(8): 3019-3024.
- [10] 王龙,黄跃飞,王光谦. 城市非点源污染模型研究进展[J]. 环境科学,2010,31(10):2532-2540.
- [11] 李怀恩. 估算非点源污染负荷的平均浓度法及其应用[J]. 环境科学学报, 2000, **20**(4): 397-400.
- [12] 洪小康, 李怀恩. 水质水量相关法在非点源污染负荷估算中的应用[J]. 西安理工大学学报, 2000, **16**(4): 384-386.
- [13] Johnes P J. Evaluation and management of the impact of land use change on the nitrogen and phosphorus load delivered to surface waters: the export coefficient modelling approach[J]. Journal of Hydrology, 1996, 183(3-4): 323-349.
- [14] Harbor J M. A practical method for estimating the impact of land use change on surface runoff, groundwater recharge and wetland hydrology [J]. Journal of the American Planning Association, 1994, 60(1): 95-108.
- [15] 戴纪翠, 高晓薇, 倪晋仁, 等. 深圳近海海域营养现状分析与富营养化水平评价[J]. 环境科学, 2009, **30**(10): 2879-2883.
- [16] 万由鹏. 深圳湾水动力时间参数计算及主要营养盐减排效果分析[D]. 北京:清华大学,2009. 36-37.
- [17] 陶亚. 基于 EFDC 模型的深圳湾水环境模拟与预测研究 [D]. 北京: 中央民族大学, 2010.
- [18] http://www.szpl.gov.cn/xxgk/tdgl/tdbgdctj/201212/

- t20121213_77983. Html.
- [19] 香港特别行政区政府环境保护署. 香港海水水质监测 20 年 (1986-2005)[R]. 2006.
- [20] 刘爱萍, 刘晓文, 陈中颖, 等. 珠江三角洲地区城镇生活污染源调查及其排污总量核算[J]. 中国环境科学, 2011, **31** (Suppl.): 53-57.
- [21] 徐腊梅, 黄炳峰. 深圳河湾流域的污染负荷分布预测[J]. 中国给水排水, 2010, **26**(13): 68-70.
- [22] GB 18918-2002. 城镇污水处理厂污染物排放标准[S].
- [23] 深圳市统计局,国家统计局深圳调查队. 2013 深圳统计年鉴 [M]. 北京:中国统计出版社. 2013. 29-344.
- [24] 刘瑞民, 沈珍瑶, 丁晓雯. 应用输出系数模型估算长江上游 非点源污染负荷[J]. 农业环境科学学报, 2008, **27**(2): 677-682.
- [25] 李兆富,杨桂山,李恒鹏.基于改进输出系数模型的流域营养盐输出估算[J].环境科学,2009,30(3):668-672.
- [26] Li H E, Lee J H W, Koenig A, et al. Nutrient load estimation in nonpoint source pollution for Hong Kong region [J]. Water Science and Technology, 2005, 51(3-4); 209-216.
- [27] 刘宁,吕瑞峰. 深圳河湾水污染水环境治理[M]. 北京:中国水利水电出版社,2006.97-100.
- [28] 白凤姣, 李天宏. 基于 GIS 和 L-THIA 模型的深圳市观澜河流域非点源污染负荷变化分析[J]. 环境科学, 2012, **33** (8): 2667-2673.
- [29] 深圳市水污染治理指挥部办公室. 深圳河湾水系水质改善策略研究[M]. 北京: 科学出版社, 2007. 1-20.
- [30] 万由鹏,毛献忠. 深圳湾 TIN 和 PO₄³⁻-P 数值模拟及减排效果分析[J]. 环境科学, 2011, **32**(2): 384-390.
- [31] 李怀恩,李家科. 流域非点源污染负荷定量化方法研究与应用[M]. 北京: 科学出版社, 2013. 176-197.

HUANJING KEXUE

Environmental Science (monthly)

Vol. 35 No. 11 Nov. 15, 2014

CONTENTS

Variation Characteristics of Surface Ozone and Its Precursors During Summertime in Nanjing Northern Suburb	SHAO Ding AN Lun lin VANC Hai at al. (4021)
Distribution Characteristics of Pollution Gases and Water Soluble Ion in Aerosol During the Asian Youth Games of Nanjing, China	
Aerosol Concentration Variation in Nanjing During Asian Youth Games and the Relationship Between Aerosol Concentration and Vis	•
Characteristic Analysis of a Multi-day Pollution Event in Chang-Zhu-Tan Metropolitan Area During October 2013	
Application of On-line Single Particle Aerosol Mass Spectrometry (SPAMS) for Studying Major Components in Fine Particulate Matt	1 0
Establishment and Application of Replaceable Source Profiles of PM ₁₀	CHEN Qiang, JING Yi, WU Huan-bo, et al. (4078)
Distribution, Flux and Biological Consumption of Carbon Monoxide in the East China Sea and the South Yellow Sea in Summer	······ WANG Jing, LU Xiao-lan, YANG Gui-peng, et al. (4085)
Spatial and Temporal Distribution of Mercury in Water of a Small Typical Agricultural Watershed in the Three Gorges Reservoir Reg	gion ······ WANG Ya, ZHAO Zheng, MU Zhi-jian, et al. (4095)
Fluorescence Characteristics of Fractionated Colloidal Organic Matter in Freshwater from Hunhe and Taizihe Watersheds	LIU Na-na, LI Bin, LIU Rui-xia, et al. (4103)
Variations of Annual Load of TN and TP in the Deep Bay Watershed, Shenzhen	······ ZHAO Chen-chen, ZHANG Shi-yan, MAO Xian-zhong (4111)
Characteristics and Bioavailability of Organic Phosphorus from Different Sources of Sediments in Dianchi Lake	
Heavy Metals Distribution Characteristics and Ecological Risk Evaluation in Surface Sediments of Dammed Jinshan Lake	
Vertical Distribution Pattern and Ecological Risk Assessment of Heavy Metals in a Sediment Core from Pumoyum Co, Tibet	
Heavy Metals Pollution and Analysis of Seasonal Variation Runoff in Xi'an	
Distribution and Source Apportionment of Polycyclic Aromatic Hydrocarbons (PAHs) in Urban Rainfall Runoff	
Influence of the Substrate Composition in Extensive Green Roof on the Effluent Quality	
Investigation of the Microbial Diversity and Structure of Biological Activated Carbon from Different Sources in Drinking Water Treatment	ment Process
Microcystin Safety Study During Cyanobacteria Removal by Pressure Enhanced Coagulation Process	
Membrane Fouling Based on Change of Membrane Characteristic Parameters During Ultrafiltration of Protein	
Impact Factors and Degradation Mechanism for the Ozonation of Acetaminophen in Aqueous Solution	
Degradation of Benzothiazole in Electro-Assisted Microbial Reactor	LIU Chun-miao, DING Jie, LIU Xian-shu, et al. (4192)
Preparation and Evaluation of Fe-La Composite Oxide Nanoadsorbent for As (III) Removal from Aqueous Solutions	ZHANG Wei, CHEN Jing, ZHANG Gao-sheng (4198)
Physiological Responses of Tubificidae to Heavy Metal Chromium Stress	···· LOU Ju-qing, YANG Dong-ye, CAO Yong-qing, et al. (4205)
Effects of Light Quality on the Growth Characteristics and Biochemical Component of Chlorella pyrenoidosa	
Influence of Alkalinity and DO on ANAMMOX Bioreactor at Normal Temperature and Low Substrate Concentration	
Effect of Fe ²⁺ and Fe ³⁺ on the Activity of ANAMMOX	
Research on Change Process of Nitrosation Granular Sludge in Continuous Stirred-Tank Reactor	
Effects of Salinity on N ₂ O Production During Nitrification Using Aerobic Granular Sludge	
Analysis of Microbial Community Variation in the Domestication Process of Sludge in a Sulfate-reducing Reactor	
Quantifying the Influence of Different Matrices on Pb Accumulation in the Soil from Nanjing and Suspended Matter from the Lower of	
Contamination Characteristics of Fluoroquinolones in Different Kinds of Soil Profiles in Southeast Suburb of Beijing	
Effect of Environmental Factors on the Formation of Several Typical Tetracycline Resistance Genes in Soil	· · · · · · · · · · · · · · · · · · ·
Response of Nitrification/Denitrification and Their Associated Microbes to Soil Moisture Change in Paddy Soil	
Microbial Community Abundance and Diversity in Typical Karst Ecosystem to Indicate Soil Carbon Cycle	JIN Zhen-jiang, TANG Hua-feng, LI Min, et al. (4284)
Effects of Variable Temperature on Organic Carbon Mineralization in Typical Limestone Soils	WANG Lian-ge, GAO Yan-hong, DING Chang-huan, et al. (4291)
Influence of the Interaction Between Iron Oxide and Electron Donor Substances on 1,1,1-Trichloro-2,2-bis(p-chlorophenyl) ethane	(DDT) Reductive Dechlorination in Hydragric Acrisols
	LIU Cui-ving, XU Xiang-hua, WANG Zhuang, et al. (4298)
Continuous Remediation of Heavy Metal Contaminated Soil by Co-Cropping System Enhanced with Chelator	
Spatial Heterogeneity of Soil Respiration in a Subalpine Meadow at Different Sampling Scales	
Study on Regularity of Greenhouse Gas Emissions from Black Soil with Different Reclamation Years	
Comparison Between Transgenic Insect-Resistant Cotton Expressing Cryl Ac Protein and Its Parental Variety in Rhizospheric Fungal	
Companson between transgene insect-resistant Cotton Expressing Cryffic Florent and its Farchial variety in funzospiene Fungal	DAN I'm gang HAO Hei hue DAI 7hi hui et al. (4220)
Concentrations of Mercury in Ambient Air in Wastewater Irrigated Area of Tianjin City and Its Accumulation in Leafy Vegetables	, , , , , , , , , , , , , , , , , , , ,
Combined Effects of 1-Nitropyrene and 1,2-Naphthoquinone on Cytotoxicity and DNA Damage in A549 Cells	
Influence of Organic Matter Evolution During Composting on the Bioavailability of Heavy Metals	•
Carbonization of Heavy Metal Cu Implanted Sewage Sludge and Stability of Heavy Metal in the Resulting Char	
Technological Characteristics of Bioreactor Landfill with Aeration in the Upper Layer	
$Impact\ of\ Nitrate\ Continuous\ Injection\ on\ N_2O\ Releases\ from\ Bioreactor\ Landfill$	BIAN Rong-xing, SUN Ying-jie, LI Jing-jing, et al. (4371)
Research on Contribution Decomposition by Industry to China's Carbon Intensity Reduction and Carbon Emission Growth	JIANG Jing-jing, YE Bin, JI Jun-ping, et al. (4378)
Shifting Path of Industrial Pollution Gravity Centers and Its Driving Mechanism in Pan-Yangtze River Delta	ZHAO Hai-xia, JIANG Xiao-wei, CUI Jian-xin (4387)
Method for Environmental Management in Paper Industry Based on Pollution Control Technology Simulation	ZHANG Xue-ying, WEN Zong-guo (4395)
Research Progress and Direction of Atmospheric Brown Carbon	
-	,

《环境科学》第6届编辑委员会

主 编:欧阳自远

副主编:赵景柱 郝吉明 田 刚

编 委: (按姓氏笔画排序)

万国江 王华聪 王凯军 王绪绪 田 刚 田 静 史培军

朱永官 刘志培 汤鸿霄 陈吉宁 孟 伟 周宗灿 林金明

欧阳自远 赵景柱 姜 林 郝郑平 郝吉明 聂永丰 黄 霞

黄耀 鲍强潘纲潘涛魏复盛

环维种草

(HUANJING KEXUE)

(月刊 1976年8月创刊)

2014年11月15日 第35卷 第11期

ENVIRONMENTAL SCIENCE

 $(\,Monthly\quad Started\,\,in\,\,1976\,)$

Vol. 35 No. 11 Nov. 15, 2014

主	管	中国科学院	Superintended	by	Chinese Academy of Sciences
主	办	中国科学院生态环境研究中心	Sponsored	by	Research Center for Eco-Environmental Sciences, Chinese
协	办	(以参加先后为序)			Academy of Sciences
		北京市环境保护科学研究院	Co-Sponsored	by	Beijing Municipal Research Institute of Environmental
		清华大学环境学院			Protection
主	编	欧阳自远			School of Environment, Tsinghua University
编	辑	《环境科学》编辑委员会	Editor-in -Chief		OUYANG Zi-yuan
2 111 1	14	北京市 2871 信箱(海淀区双清路	Edited	by	The Editorial Board of Environmental Science (HUANJING
		18 号,邮政编码:100085)			KEXUE)
		电话:010-62941102,010-62849343			P. O. Box 2871, Beijing 100085, China
		传真:010-62849343			Tel:010-62941102,010-62849343; Fax:010-62849343
		E-mail; hjkx@ rcees. ac. cn			E-mail; hjkx@ rcees. ac. cn
		http://www.hjkx.ac.cn			http://www. hjkx. ac. cn
出	版	4 望 业 版 社	Published	by	Science Press
щ	NX.	北京东黄城根北街 16 号			16 Donghuangchenggen North Street,
		邮政编码:100717			Beijing 100717, China
印刷装	ìΤ	北京北林印刷厂	Printed	by	Beijing Bei Lin Printing House
发	行	结学业发社	Distributed	by	Science Press
~	••	电话:010-64017032			Tel:010-64017032
		E-mail: journal@ mail. sciencep. com			E-mail:journal@mail.sciencep.com
订 购	处	全国各地邮电局	Domestic		All Local Post Offices in China
国外总发	行	中国国际图书贸易总公司	Foreign		China International Book Trading Corporation (Guoji
		(北京 399 信箱)	-		Shudian), P. O. Box 399, Beijing 100044, China

中国标准刊号: ISSN 0250-3301 CN 11-1895/X

国内邮发代号: 2-821

国内定价:90.00元

国外发行代号: M 205

国内外公开发行